

イソタクチックポリプロピレンの秩序構造形成

山口大院理工¹・広島大院総合科²・サンアロマー³

○吉田 隆寛¹・前田 祐欣¹・野崎 浩二¹・戸田 昭彦²・
丸山 真範³・田頭 克春³・山本 隆¹

[緒言]

結晶性高分子であるイソタクチックポリプロピレン (iPP) は融液状態から結晶化させると、結晶化温度が低い場合は α_1 相（準安定相）、高い場合は α_2 相（最安定相）が生じる。また、 α_1 相球晶を徐々に昇温すると α_2 相(最安定相)に相転移する。著者らは、依然、X線回折(XRD)法を用いて、 α_1 相球晶を高速昇温すると比較的低い温度で $\alpha_1 \rightarrow \alpha_2$ 相転移が起こることを確認した[1]。これらの実験事実は、 $\alpha_1 \rightarrow \alpha_2$ 相転移が、 α_1 相の部分融解をきっかけに開始するとすれば説明できる。 α_1 の分子配列から α_2 の分子配列に変化するためには、あるサイトの3/1螺旋分子が一旦、結晶格子から外れ、別の分子に入れ替わる必要がある。したがって、相転移が起こるために α_1 相の部分的な融解が必要となる。高速昇温の場合、結晶の再組織化による融点上昇が抑えられ、低い温度で α_1 相結晶が融解し始め、それによって相転移が開始すると推測される。本研究ではノジュール構造という特異な高次構造を持つメソ相から結晶化させた α_1 相結晶を昇温して $\alpha_1 \rightarrow \alpha_2$ 相転移を観測し、 $\alpha_1 \rightarrow \alpha_2$ 相転移が α_1 相結晶の部分融解をきっかけとして開始することを検証する。

$\alpha_1 \rightarrow \alpha_2$ 相転移における秩序構造形成過程を探求する上で、両相の結晶構造に関する詳細な理解は欠かせない。 α_1 と α_2 相の結晶構造についてはその存在が明らかにされた直後にX線回折法により決定されている[2]。しかしながら、最近、著者らは両相のXRDプロファイルの違いは、今まで報告されている結晶構造の違いだけでは説明できないことを明らかにした。発表では、 $\alpha_1 \rightarrow \alpha_2$ 相転移における秩序構造形成過程と、両相の結晶構造の詳細に関する研究成果について紹介する。

[実験]

200–500 μm のフィルム状に成形した iPP 試料 ($M_w = 362,000$, $M_w/M_n = 6.8$, [mmmm] = 97.8%) を 200°C で融解させ、−80°C のアセトン中に急冷してメソ相試料を調製した。その後試料の広角 X 線回折プロファイルの温度変化をイメージングプレート搭載の X 線回折装置(Bullker AXS, DIP220)で測定した。各温度の WAXD プロファイルから全結晶化度(χ_c)、 α_1 相と α_2 相それぞれの結晶化度(χ_{α_1} , χ_{α_2})を求め、 α_1 相球晶試量を昇温した場合と比較した。

5mm ϕ の DSC 用アルミパン内で溶融させた iPP 試料を 40°C と 150°C のオイルバス中に投下して等温結晶化させ、 α_1 相試料と α_2 相試料を調製した。室温で放射光 X 線回折 (SOR-XRD) を行い、 α_1 相と α_2 相の XRD プロファイルを得た。SOR-XRD は、九州シンクロトロン光研究センター (Saga-LS) の BL11 で行った。約 0.6mm ϕ の X 線 (8.0keV) を厚さ 1-2mm のフィルム状試料に入射させ、透過法によりカメラ長 117mm の位置に設置したイメージングプレート(400 mm × 200 mm)上に X 線回折パターンを記録した。

[結果と考察]

$\alpha_1 \rightarrow \alpha_2$ 相転移

Fig.1に、メソ相および α_1 相球晶試料を昇温したときの全結晶化度、 α_1 相と α_2 相それぞれの結晶化度の温度変化を示す。 α_1 相球晶の場合、全体の結晶化度の低下開始直前の高温で α_2 相への相転移が開始されるが、メソ相から昇温するとまだ結晶化度が低下しない低温で $\alpha_1 \rightarrow \alpha_2$ 相転移が開始する。ノジュール構造中のメソ相から結晶化した α_1 結晶は小さいのに加え、ノジュール構造の特殊性から結晶の厚化等の再組織化が起こりにくく、 α_1 相結晶の部分融解が低い温度で開始するためと考えられる。当日は高速昇温の場合の結果を併せて議論する。

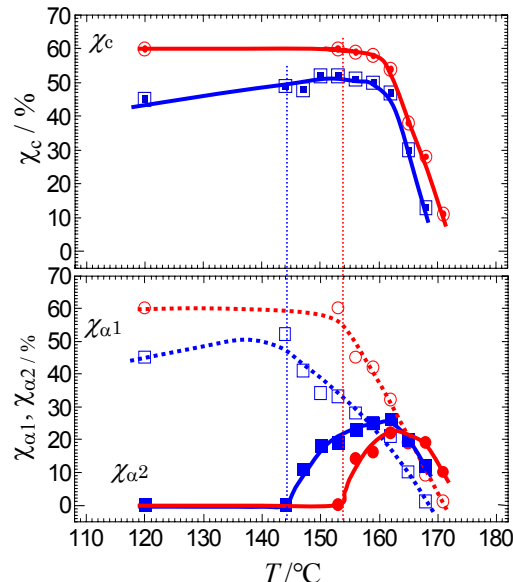


Figure. 1 Annealing temperature dependence of χ_c , χ_{α_1} (open), and χ_{α_2} (full) of iPP on heating from the meshophase (squares) and the α_1 spherulite (circles).

α_1 と α_2 相の結晶構造の詳細

Fig.2 は 40°C(a: α_1 相)と 150°C(b: α_2 相)で結晶化させた iPP の、放射光 X 線回折での XRD プロファイルである。

α_1 相と α_2 相の構造は極めて類似しているので、Fig.2 に示す低角度散乱角範囲 ($2\theta < 30^\circ$) の Bragg 反射強度には大きな違いは生じない。しかし、室温の XRD プロファイルは Bragg 反射ピークの幅が広く、さらに 040 反射の幅に対して 110、130 反射の幅が広いという特徴が見られる。一方で、試料を昇温したときの XRD プロファイルはどの Bragg 反射ピークの幅も狭くなるという特徴が見られた。通常、Bragg 反射の幅に関しては結晶子形状によって説明されることが多いが、室温のプロファイルの特徴は結晶子形状のみでは説明できない。高分子結晶の場合、Bragg 反射の幅が広がるもう一つの原因として、結晶格子配列の長距離秩序性の乱れ（パラクリスタル的乱れと呼ばれる）がある。iPP 結晶においてパラクリスタル的乱れが詳細に議論された例は過去にない。室温のプロファイルの特徴は、結晶格子配列にパラクリスタル的な乱れを導入すれば説明できると考え、パラクリスタルモデルを用いて XRD プロファイルを計算した。XRD プロファイルから、 α_1 相結晶は a 軸方向のパラクリスタル的な乱れが大きい構造であり、 α_2 相結晶はパラクリスタル的な乱れが少なく理想結晶に近い構造であることが分かった。当日は、 α_1 相試料を昇温したときのパラクリスタル的乱れの詳細も調べ、熱処理による結晶構造の変化についても考察する。

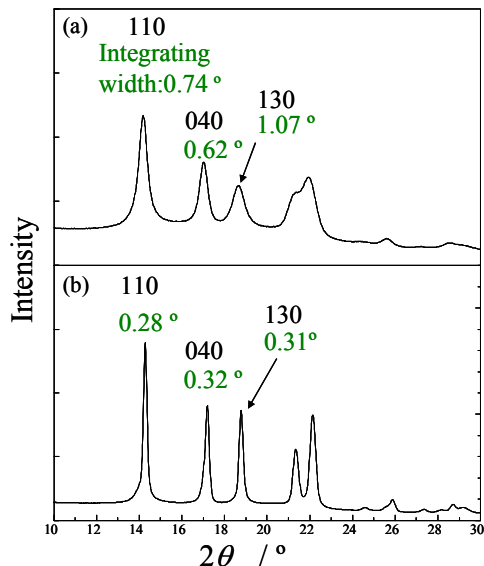


Figure.2 X-ray diffraction profiles of iPP samples crystallized in 40°C oil bath(α_1 form) and 150 °C oil bath.

[1] K.sato et al. Polymer Preprints, Japan Vol. 60, No. 2, pp3394 (2011)

[2] M .Hikosaka and T. Seto, *Polymer J.*, **5**, 111 (1973).